

# Math-Net.Ru

Общероссийский математический портал

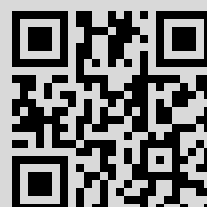
Э. А. Мухачева, А. С. Мухачева, Задача прямоугольной упаковки: методы локального поиска оптимума на базе блочных структур, *Автомат. и телемех.*, 2004, выпуск 2, 101–112

Использование Общероссийского математического портала Math-Net.Ru подразумевает, что вы прочитали и согласны с пользовательским соглашением  
<http://www.mathnet.ru/rus/agreement>

Параметры загрузки:

IP: 93.175.9.132

2 марта 2021 г., 13:42:44



© 2004 г. Э. А. МУХАЧЕВА, д-р. техн. наук,  
А. С. МУХАЧЕВА, канд. физ.-мат. наук  
(Уфимский государственный авиационный технический университет)

## ЗАДАЧА ПРЯМОУГОЛЬНОЙ УПАКОВКИ: МЕТОДЫ ЛОКАЛЬНОГО ПОИСКА ОПТИМУМА НА БАЗЕ БЛОЧНЫХ СТРУКТУР<sup>1</sup>

Рассматривается задача ортогональной упаковки прямоугольников в полубесконечную полосу и ее представление блок-структурами, позволяющими сводить проблему к решению задач линейного раскроя специального вида. На этой базе предложены схемы конструирования методов локального поиска оптимума и разработаны детерминированный и вероятностные алгоритмы. Приведены результаты численного эксперимента, подтверждающие эффективность новых методов.

### 1. Введение

Под задачами раскроя-упаковки понимается широкий класс проблем, допускающих различное толкование. Общим является наличие двух групп объектов. Между элементами этих групп устанавливается и оценивается соответствие. Качественную типологию в области раскроя-упаковки провел в 1991 г. Н. Dyckhoff [1]. Среди различных моделей важное место занимают задачи ортогональной упаковки прямоугольных объектов в заданных областях. Эти задачи принято именовать **1.5D Bin Packing Problem (1.5DBPP)** в случае упаковки в полубесконечную полосу и **2DBPP** – в листы прямоугольной формы [2]. Предметом изучения в настоящей статье является **1.5DBPP**. Вместе с тем предлагаемые здесь алгоритмы размещения в полубесконечной полосе можно легко модифицировать на случай упаковки предметов в листы. Кроме того, роль вспомогательной задачи выполняет задача линейного раскроя **1D Cutting Stock Problem, (1DCSP)**. Этой задаче также уделено внимание в статье.

Задача **1.5DBPP** состоит в следующем. Имеется прямоугольная полоса фиксированной ширины и полубесконечной длины. Требуется разместить прямоугольные предметы в полосе так, чтобы стороны прямоугольников были параллельны сторонам полосы; прямоугольники не пересекались между собой и со сторонами полосы; длина занятой части полосы достигала минимума. Эта задача встречается при решении многих прикладных проблем экономики и производства. К ней сводятся задачи распределения двумерного ресурса; раскрой рулонного и листового материала; упаковка контейнеров в транспортные средства; размещение оборудования и другие. Каждая из перечисленных проблем может входить в оптимизационное ядро соответствующей автоматизированной системы. Например, раскрой рулонного или листового материала представляет подсистему заготовительного производства АСУ ТП.

<sup>1</sup> Работа выполнена при финансовой поддержке Российского фонда фундаментальных исследований (проект № 01-01-00510) и фонда президента Российской Федерации (проект № МК 145.2003.01).

На заре появления проблемы раскроя Л.В. Канторовичем и В.А. Залгаллером было предложено использовать для решения задач раскроя линейное программирование [3], вернее – непрерывную релаксацию для решения целочисленных задач раскроя. Это позволило разработать эффективные методы расчета линейного и гильотинного раскроя в условиях массового производства. Аналогичные методы появились за рубежом [4, 5]. Для расчета раскроев на каждом шаге линейного программирования решается задача о загрузке рюкзака. Для ее решения был разработан метод склейки [6]. На базе линейного программирования были разработаны алгоритмы условной оптимизации [7]. Эти и другие работы по существу закрыли проблему массового раскроя. Задачи раскроя-упаковки являясь NP-трудными проблемами дискретного программирования, потребовали развития других методов для их решения. Для получения точного решения используются методы отсечения [8], где разработаны гибридные алгоритмы для решения задач линейного и гильотинного раскроя с использованием простых эвристик после построения каждого очередного отсечения Гомори. Прием позволяет в подавляющем большинстве случаев быстро получать оптимальное решение. Среди комбинаторных методов наибольшее применение получил метод “ветвей и границ” [9, 10]. Асимптотически точный подход разработан для некоторого класса задач линейной и прямоугольной упаковки [11]. Ввиду NP-трудности задач, вызывают интерес приближенные и эвристические методы локального поиска оптимума. В [12] проведен подробный обзор однопроходных эвристик для решения задачи упаковки контейнеров, описан принцип самого худшего случая и проведен анализ среднего случая, исследовано поведение офф-лайн и он-лайн вариантов эвристик. Среди эвристик более высокого уровня выделяются *жадные* алгоритмы [13]. К сложным уровневым алгоритмам относится способ *последовательно-одиночного* размещения [14]. Внесение в эвристику элементов случайности значительно повышает ее эффективность. Краткий обзор вероятностных методов локального поиска проведен [15]. С использованием элементов случайности разрабатываются бурно развивающиеся метаэвристики, характеристики и обоснования которых можно найти в [16]. Часто применяются для решения задач раскроя-упаковки *генетические* алгоритмы, например для **1DBPP** [17], для **1.5DBPP** [18] и другие. Оригинальный способ кодирования генов применен в [19]. Этот подход оказался весьма результативным. С разработкой вероятностных алгоритмов появилась потребность в исследовании их поведения в зависимости от случайных параметров [20]. Здесь предлагается новый подход для решения **1.5DBPP**, который базируется на методологии блочных структур упаковок. На этой базе конструируются различные группы алгоритмов. Они позволяют быстро получать близкое к оптимальному решение для различных классов исходной информации.

## 2. Математическая модель задачи и способы кодирования упаковки

**Задача 1.5DBPP.** Имеются прямоугольная полоса заданной ширины  $W$  и неограниченной длины и набор из  $m$  прямоугольных предметов заданных размеров  $(w_i; l_i)$ ,  $i = \overline{1, m}$ , где  $w_i$  – ширина;  $l_i$  – длина стороны, параллельной неограниченной грани полосы. Введем прямоугольную систему координат: оси  $Ox$  и  $Oy$  совпадают соответственно с нижней неограниченной и боковой сторонами полосы. Положение каждого прямоугольника  $P_i$  зададим координатами  $(x_i; y_i)$  его левого нижнего угла.

Набор векторов  $(x_i; y_i)$ ,  $i = \overline{1, m}$  называется *прямоугольной упаковкой* (Rectangular Packing, **RP**), если для  $i \neq j$ ;  $i, j = \overline{1, m}$ ,

$$(1) \quad x_i \geq (x_j + l_j) \vee x_j \geq (x_i + l_i),$$

или

$$(2) \quad y_i \geq (y_j + w_j) \vee y_j \geq (y_i + w_i);$$

для  $i = \overline{1, m}$

$$(3) \quad x_i \geq 0 \wedge y_i \geq 0 \wedge y_i + w_i \leq W.$$

Условие (1) означает *раздвинутость* прямоугольников по оси  $Ox$ , условие (2) – *раздвинутость* по оси  $Oy$ . Раздвинутость по оси  $Ox$  или по оси  $Oy$  означает непересечение прямоугольников между собой. Выполнение условий ((1) или (2)) и (3) означает допустимость упаковки. Если длина занятой части допустимой упаковки полосы достигает минимума, то **РР** называется *оптимальной* упаковкой и является решением **1.5DBPP**. Исходную информацию для **1.5DBPP** принято задавать вектором  $(W, m, w, l)$ ,  $w = (w_1, w_2, \dots, w_m)$ ,  $l = (l_1, l_2, \dots, l_m)$ . Решение задачи определяет упаковка **РР** с координатами  $(x_i; y_i)$ ,  $i = \overline{1, m}$ , прямоугольников.

Приведем два способа кодирования **РР**. Первый применяется многими авторами [18]. На втором способе базируются предлагаемые здесь алгоритмы.

**Приоритетные списки.** Предположим, что известна допустимая упаковка **РР**. В качестве шифра **РР** принято использовать список  $\pi = \{1(\pi), 2(\pi), \dots, i(\pi), \dots, m(\pi)\}$ , в котором  $i(\pi)$  – номер прямоугольника, занимающего в  $\pi$  позицию  $i$ . Для фиксированного списка  $\pi$  с помощью того или иного алгоритма размещения (*декодера*) вычисляют координаты  $(x_i; y_i)$  прямоугольника  $P_i$  и строят эскиз упаковки. Ее длина зависит от перестановки элементов в  $\pi$  и от используемого декодера [21].

**Блок-структуры.** Пусть имеется прямоугольная упаковка **РР**. Проведем через правые стороны прямоугольников вертикальные резы, они разбивают **РР** на прямоугольные *вертикальные блоки* одной и той же ширины  $W$  и различной длины. Пусть длина **РР** равна  $L$ . Проведем через верхние стороны прямоугольников горизонтальные линии. Тогда **РР** разобьется на *горизонтальные блоки* одной и той же длины  $L$  и различной ширины. Таким образом, мы получаем две блок-структуры для **РР**, вертикальную и горизонтальную. Каждому блоку  $j$  сопоставим *кортеж* (запись номеров прямоугольников, пересекающих блок) и длину  $\chi_j$  вертикального,  $\eta_j$  горизонтального блоков. В качестве шифров блок-структур используем списки:

$$(4) \quad \begin{aligned} S &= \{1(j), 2(j), \dots, i(j), \dots\} \chi_j, \quad j = \overline{1, r}; \\ \tilde{S} &= \{1(j), 2(j), \dots, i(j), \dots\} \eta_j, \quad j = \overline{1, q}, \end{aligned}$$

где  $i(j)$  – номер прямоугольника в позиции  $i$ , пересекающего блок  $j$ ,  $r$  – количество вертикальных,  $q$  – горизонтальных блоков. На рис. 1,а и 1,б изображены вертикальная и горизонтальная блок-структуры упаковки с  $m = 6$ . Разбиения на блоки

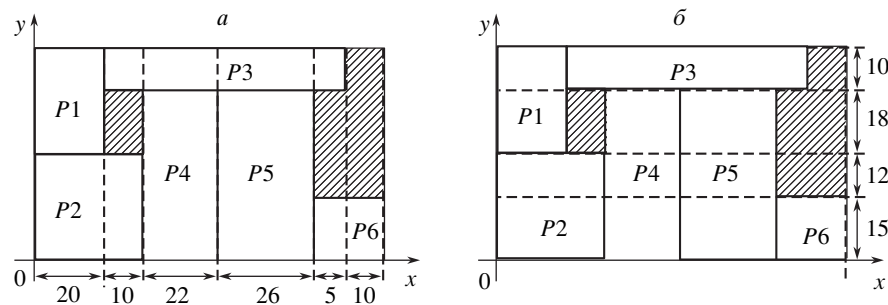


Рис. 1. Блок-структуры упаковок.

указаны штриховыми линиями. Там же указаны длины (ширины) блоков. Легко проверить, что блок-структурам отвечают следующие списки:

$$S = \{(2, 1)20; (2, 3)10; (4, 3)22; (5, 3)26; (6, 3)5; (6)10\};$$

$$\tilde{S} = \{(2, 4, 5, 6)15; (2, 4, 5)12; (1, 4, 5)18; (1, 3)10\}.$$

Длина  $L(\mathbf{RP}) = 20+10+22+26+5+10 = 93$  и ширина  $\tilde{N}(\mathbf{RP}) = 15+12+18+10 = 55$ .

Таким образом, имея упаковку, легко получить пару списков  $S$  и  $\tilde{S}$ , отвечающих блок-структурам. Нас интересует обратная задача: по исходной информации  $(W; m; w; l)$  найти списки  $S(\tilde{S})$ , соответствующие упаковке. Обозначим:  $I_j(\tilde{I}_j)$  – множество прямоугольников, пересекающих  $j$ -й вертикальный (горизонтальный) блок;  $I_j^+(\tilde{I}_j^+)$  – множество прямоугольников  $i \in I_j(i \in \tilde{I}_j)$ , заканчивающихся в  $j$ -м блоке;  $I_j^-(\tilde{I}_j^-)$  – множество прямоугольников  $i \in I_j(i \in \tilde{I}_j)$ , начинающихся в  $j$ -м блоке. Определяющими для блок-структур являются следующие необходимые свойства соответствия:

**Лемма 1.** Если список  $S(\tilde{S})$  соответствует допустимой упаковке  $\mathbf{RP}$  задачи **1.5DBPP**, то он удовлетворяет следующим свойствам.

1°. **Разнородность** прямоугольников. Элементы  $i(j)$  каждого кортежа  $j$  различные (один и тот же прямоугольник не может повторяться в одном кортеже);

2°. **Продолженность** прямоугольников. Если некоторый элемент  $i(j) \in I_j^+(\tilde{I}_j^+)$ , то  $i(j) \in I_{j+1}(\tilde{I}_{j+1})$  (если прямоугольник не заканчивается в кортеже  $j$ , то он продолжен в следующем кортеже).

### 3. Задачи прямоугольно-ориентированного линейного раскроя

Базовой здесь является следующая хорошо известная проблема [22].

**Задача линейного раскроя** (Cutting Stock Problem, **1DCSP**). Имеется материал, поступающий в виде стержней длины  $Z$ . Путем его раскроя требуется получить набор из  $m$  различных предметов заданной длины  $\lambda_i, i = \overline{1, m}$  и в необходимом количестве  $b_i$  каждого вида  $i = \overline{1, m}$ . Требуется раскроить материал на линейные предметы (заготовки) с минимальными затратами материала.

Задача **1DCSP** задается информационным вектором  $(Z; m; \lambda; b)$ ;  $\lambda = (\lambda_1, \dots, \lambda_m)$ ;  $b = (b_1, \dots, b_m)$ . Вектор  $\alpha^j = (a_{1j}, a_{2j}, \dots, a_{mj})^T \in Z_+^m$  описывает  $j$ -й шаблон раскроя; компоненты  $a_{ij}$  указывают количество получаемых заготовок типа  $i$ . Матрица  $A = (a_{ij}), i = \overline{1, m}; j = \overline{1, n}$ , называется раскройной матрицей. Обозначим через  $\chi_j, j = \overline{1, n}$  количество стержней, раскраиваемых по шаблону  $j$ . Тогда проблема планирования оптимального раскроя материала сводится к решению следующей задачи:

$$(5) \quad \min N = \left\{ \sum_{j=1}^n \chi_j \left| \chi = (\chi_1, \chi_2, \dots, \chi_n) \in Z_+^n; \sum_{j=1}^n \chi_j \alpha^j = b \right. \right\}.$$

Если векторы  $\alpha^j$  и количество  $n$  различных шаблонов известны, то (5) является задачей линейного целочисленного программирования. Однако в реальных задачах векторы  $\alpha^j$  не заданы в явном виде и число  $n$  экспоненциально зависит от размерности  $m$  исходной задачи. Тогда (5) представляет задачу с неявно заданной матрицей ограничений, а неизвестными, кроме  $\chi_j$ , являются векторы  $\alpha^j$  (шаблоны) и число  $n$ . Известны методы решения этой задачи. Например, метод отсекающих плоскостей,

приведенный в [8] и комбинаторные алгоритмы [22]. Здесь для решения (5) с дополнительными ограничениями применяются схемы локального поиска.

Заметим, что шаблон раскроя  $j$  может быть задан кортежем  $(1(j), 2(j), \dots, i(j), \dots)$ , в котором перечислены номера  $i(j)$  заготовок, получаемых по шаблону  $j$ . Тогда решение задачи (5) представляет совокупность из  $n$  различных кортежей с указанием количества  $\chi_j$  стержней, раскраиваемых по  $j$ -му шаблону. Его можно записать как

$$(6) \quad S = (\{1(j), 2(j), \dots, i(j), \dots\}) \chi_j, \quad j = \overline{1, n}; \quad N = \sum_{i=1}^n \chi_j,$$

где  $S$  – список кортежей,  $N$  – расход материала, вычисляется через  $S$  и используется в качестве рекорда.

Если положить  $Z = W$ ;  $\lambda_i = w_i$ ;  $b_i = l_i$ ;  $i = \overline{1, m}$ , то **1.5DBPP** трансформируется в **1DCSP** с  $(Z = W; m; \lambda = w; b = l)$ . Пара  $(S; N)$  определяет ее допустимое решение.

$$(7) \quad S = (1(j), 2(j), \dots, i(j), \dots) \chi_j, \quad j = \overline{1, r}, \quad N = \sum_{j=1}^r \chi_j,$$

где  $\chi_j$  – количество стержней, раскраиваемых по кортежу (шаблону)  $j$ .

Если положить  $Z = N$ ;  $\lambda_i = l_i$ ;  $b_i = w_i$ ;  $i = \overline{1, m}$ , то **1.5DBPP** трансформируется в задачу линейного раскроя **1DCSP\*** с  $(Z = N; m; \lambda = l; b = w)$ . Пара  $(\tilde{S}; \tilde{N})$  определяет ее допустимое решение

$$(8) \quad \tilde{S} = (1(j), 2(j), \dots, i(j), \dots) \eta_j, \quad j = \overline{1, q}, \quad \tilde{N} = \sum_{j=1}^q \eta_j,$$

где  $\eta_j$  – количество стержней, раскраиваемых по кортежу (шаблону)  $j$ .

Определим прямоугольно-ориентированные задачи линейного раскроя (Rectangular Oriented **CSP**, **RCSP**).

**Задача RCSP.** При исходных данных **1.5DBPP** найти допустимое решение  $(S; N)$  задачи **1DCSP**, удовлетворяющее свойствам  $1^\circ, 2^\circ$ .

**Задача RCSP\*.** При исходных данных **1.5DBPP** и  $Z = N$  найти допустимое решение  $(\tilde{S}; \tilde{N})$  задачи **1DCSP\***, удовлетворяющее свойствам  $1^\circ, 2^\circ$  и условию

$$(9) \quad \tilde{N} \leq W.$$

Допустимое решение задачи **RCSP (RCSP\*)** называется *прямоугольно-ориентированным линейным раскроем* (Rectangular Oriented Linear Cutting, **ROLC (ROLC\*)**), ему отвечает вертикальная (горизонтальная) блок-структура, заданная парой  $(S; N)$   $((\tilde{S}; \tilde{N}))$ .

Блок-структуры **ROLC (ROLC\*)** можно найти, решая последовательно задачи **RCSP** и **RCSP\***. Однако, только они не обеспечивают построения **RP**.

#### 4. Алгоритмы на базе перестановок элементов в блоках

Здесь мы будем опираться только на одну, вертикальную блок-структуру.

Заметим, что решение **ROLC** линейного раскроя не зависит от порядка следования элементов в кортежах. Различные **ROLC**, различающиеся только перестановкой

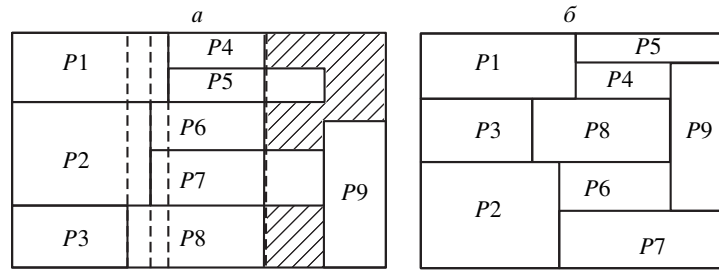


Рис. 2. Перестройка.

элементов в блоках, назовем *эквивалентными*. Прямоугольно-ориентированный линейный раскрой назовем *нормальным* (normal, **n.ROLC**), если существует ему эквивалентный, являющийся прямоугольной упаковкой. Очевидно утверждение:

*Лемма 2. Если пара  $(S; N)$  является **n.ROLC**, то блок-структура прямоугольной упаковки длины  $L = N$  принадлежит множеству эквивалентных **ROLC**.*

Поиск прямоугольной упаковки длины  $L = N$  сводится к перестановке элементов внутри блоков. Детерминированный алгоритм направленной перестановки, метод *перестройки*, описан в [23]. Здесь мы приводим его краткую характеристику.

**Метод перестройки** (Reconstruction, **REC**). Предположим, что имеется план линейного раскрой, удовлетворяющий условиям 1° и 2°, т.е. прямоугольно-ориентированный линейный раскрой, **ROLC**. Среди эквивалентных **ROLC** требуется найти, если это возможно, отвечающий прямоугольной упаковке **RP**. Очевидным является следующее утверждение:

*Лемма 3. **ROLC**, отвечающий исходным данным **1.5DBPP** и заданный парой  $(S; N)$  удовлетворяет условиям (1) или (2) непересечения прямоугольников в том, и только в том случае, если для каждой пары  $(j, j + 1)$  кортежей из  $S$  имеет место следующее свойство:*

3°. ***Размещаемость**. Если некоторые элементы  $i \in I_j^+$ ,  $j \in S$ , то вместо них в освободившихся областях должны разместиться все новые элементы  $(j + 1)$ -го кортежа.*

На этом свойстве базируется алгоритм *перестройки*.

Пусть имеется допустимое решение  $(S, N)$  задачи **RCSP**. Каждому кортежу списка (7) отвечают блоки, удовлетворяющие свойствам 1° и 2°. Предположим, что при этом для некоторой пары  $(j, j + 1)$  соседних кортежей нарушено свойство 3°. В этом случае будем говорить, что возникла ситуация *перестройки*, а соответствующие прямоугольники (элементы) назовем *критическими*. Если для кортежа  $j$  возникает ситуация перестройки, то осуществляется перестановка критических и других элементов в предыдущих кортежах, обеспечивающая, если возможно, нужное расположение прямоугольников в кортеже  $j$ . На рис. 2, а и 2, б приведены упаковки различной длины до и после перестройки. В [23] приведены быстрые переборные алгоритмы сложности  $(m^2)$ . Алгоритм *перестройки* является детерминированным. Его удобно применять в рамках вероятностных алгоритмов в качестве декодера. Однако не всякая ситуация перестройки преодолима и тогда  $L > N$ .

**Генетический блочный алгоритм** (Genetic Block Algorithm, **GBA**). Пусть задана исходная информация  $(W, m, w, l)$  для решения **1.5DBPP**. Затем формируется исходная информация  $(Z, m, \lambda, b)$  для задачи **1DCSP**. Решая эту задачу с учетом свойств 1° и 2°, получаем **ROLC**, заданный парой  $(S; N)$ . Полученная блок-структура, вообще говоря, не является упаковкой. Ее длина  $\Lambda = N$  может использоваться в качестве квазиграницы **RP** в рассматриваемой окрестности.

Генетический алгоритм решения задачи **1.5DBPP** интерпретируется как эволюционный процесс, связанный с перестановкой элементов в кортежах. Каждой допустимой упаковке **RP** отвечает ее блочное представление (4), кортежи в нем расположены в установленном порядке и связаны друг с другом (свойство 2°). Это позволяет интерпретировать их как *гены*, а блок-структуру, соответствующую **ROLC**, можно интерпретировать *хромосомой*, содержащей сцепленные между собой *гены*. Местоположение гена в хромосоме является *локусом*, а альтернативные формы одного и того же гена, расположенные в одинаковых локусах хромосомы, интерпретируются *аллелями*. Хромосома, содержащая в своих локусах конкретные значения аллелей, представляет *генотип*. Конечное множество всех допустимых генотипов образует *генофонд*. Первое допустимое решение определяется путем использования алгоритма **SVC** с ограничениями 1° и 2° для **RCSP**. Так определяют начальное **ROLC**, заданное парой  $(S; N)$ . Далее, с помощью того или иного декодера находят прямоугольную упаковку длины  $L$ . Путем перестановки элементов в кортежах **ROLC** определяют эквивалентные **ROLC'** и отвечающие им *соседние* решения длины  $L'$ . Таким образом фиксированный **ROLC** со значением  $N$  функции цели определяет окрестность, в которой реализуется локальный поиск оптимума. *Степенью  $\mu(rp)$  приспособленности* особи  $rp$  является значение  $L$  длины занятой части полосы прямоугольной упаковки **RP**. *Оценочной функцией* в окрестности с фиксированным значением  $\Lambda = N$ , является величина  $\Delta = (L - \Lambda)/L$ . Множество эквивалентных **ROLC** образует *ареал*, заданный окрестностью  $N$ , а совокупность особей (допустимых упаковок), принадлежащих ареалу, образует *популяцию*  $P$ . Численность генофонда популяции в множестве эквивалентных **ROLC**, определяется параметром  $k = \sum_{\nu=1}^n r_{\nu}!$ , где  $r_{\nu}$  – количество начатых в блоке  $\nu$  элементов,  $n$  – количество блоков. В общем случае экстремальной задачи **1.5DBPP** популяция соответствует совокупности допустимых решений. С помощью основных генетических процедур *кроссовер* и *селекция* может быть найдена особь с показателем  $L = \Lambda$  в случае, когда исходный **ROLC** является нормальным. На этом заканчивается работа алгоритма. Иначе, выполняя заданное количество генетических итераций, находят **RP** с  $L < \Lambda$  и вычисляют значения оценочной функции. Далее ареал расширяется за счет применения *мутации*, перехода к новой окрестности. Тогда численность генофонда  $k = n! \sum_{\nu=1}^n r_{\nu}!$ .

Перечислим основные процедуры **GBA**.

*Хромосома* – вычисление **ROLC** с помощью модификаций алгоритма **SVC** [22].

*Декодер* – построение допустимой прямоугольной упаковки **RP**, пользуясь алгоритмом *перестройки* в сочетании с блочным декодером [21].

*Генофонд* – построение аллелей путем перестановок элементов в кортежах.

*Кроссовер* – выбор случайной хромосомы (родителя), выбор гена (блока) хромосомы, перестановка двух случайных элементов в блоках.

*Мутация* – построение новой начальной хромосомы.

Алгоритм **GBA** состоит из выполнения следующих шагов:

G1. Построение блок-структуры начальной хромосомы.

G2. Построение начальной популяции. Выполняются процедуры *генофонд* и *декодер*. Повторяется до получения заданного количества особей в популяции.

G3. *Кроссовер* и занесение в популяцию наиболее приспособленных особей.

G4. *Мутация* и переход на G1.

Выполняется алгоритм до тех пор, пока не достигнута *квазиграница*, полученная **SVC** или не выполнено заданное количество шагов.



## 5. Метод парных списков локального поиска оптимальной упаковки

Метод парных списков основан на утверждениях, связанных с допустимостью **RP**.

**Лемма 4.** Блок-структуры **ROLC** и **ROLC\***, отвечающие исходным данным **1.5DBPP** и заданные парами  $(S; N)((\tilde{S}; \tilde{N}))$ , удовлетворяют условиям (1) или (2) непересечения прямоугольников в том и только в том случае, если для них справедливо следующее свойство:

4°. **Непересечение.** Для любого вертикального и любого горизонтального блока выполняется одно из следующих условий:

(a) для любой пары  $(i_1, i_2) \in I_k$ ,  $k \in S$  и любого кортежа  $j \in \tilde{S}$ : если  $i_1 \in \tilde{I}_j$ , то  $i_2 \notin \tilde{I}_j$  или если  $i_2 \in \tilde{I}_j$ , то  $i_1 \notin \tilde{I}_j$ ;

(b) для любой пары  $(i_1, i_2) \in \tilde{I}_j$ ,  $j \in \tilde{S}$  и любого кортежа  $k \in S$ : если  $i_1 \in I_k$ , то  $i_2 \notin I_k$  или если  $i_2 \in I_k$ , то  $i_1 \notin I_k$ .

Заметим, что выполнение 4° не является достаточным условием эквивалентности **ROLC** и **RP**. На рис. 3 изображена блок-структура **ROLC**, удовлетворяющая 4°, которая не является **RP**. Простым следствием из леммы 4 является следующий достаточный признак эквивалентности **ROLC** и **RP**.

**Теорема 1.** Блок-структуры **ROLC(ROLC\*)** с исходными данными **1.5DBPP**, заданные парами  $(S; N)((\tilde{S}; \tilde{N}))$  и удовлетворяющие свойству 4°, отвечают упаковке **RP**, если координаты  $(x_i, y_i)$  всех прямоугольников вычислены по формулам:

$$(10) \quad x_{i(k)} = \sum_{j=1}^{k-1} \chi_j, \quad i(k) \in I_k^-; \quad y_{i(k)} = \sum_{j=1}^{\tilde{k}-1} \eta_j, \quad i(\tilde{k}) \in \tilde{I}_k^-,$$

где  $I_k^-(\tilde{I}_k^-)$  – множество прямоугольников с началом в блоке  $k(\tilde{k})$ .

**Рандомизированный поиск парных списков** (Random Doublicity List Search, **RDLS**). По общему методу локального спуска алгоритм состоит из выполнения процедур:

**RL1. Инициализация.** Выбрать начальное допустимое решение и вычислить для него значение критерия оптимальности (верхняя граница).

**RL2. Поиск соседнего решения.** Выбрать допустимое соседнее решение из окрестности начального и вычислить для него значение оценочной функции.

**RL3. Анализ перехода.** Проверить, следует ли совершить переход к новому решению: если да, то принять новое решение в качестве текущего. Иначе текущим оставить предыдущее решение и вернуться на **RL2**.

**RL4. Конец.** Завершить работу алгоритма и вывести решение.

P2	P3	
		P3
P1		P4

Рис. 3. Недопустимая упаковка.

Процедуры RL1 и RL2 в схеме парных списков представляют последовательное решение пары задач **RCSP** и **RCSP\***. Для поиска соответствующих им списков  $S$  и  $S^*$  на каждой итерации применяется алгоритм **FF** с учетом  $1^\circ$ ,  $2^\circ$ ,  $4^\circ$ .

Рандомизированный поиск парных списков генерирует новый список  $\pi$  путем перестановки всех элементов. Используя полученный список  $\pi$  решаем **RCSP** (алгоритм **FF** с учетом  $1^\circ$  и  $2^\circ$ ) и получаем пару  $(S; N)$ . **RCSP\*** решается с помощью **FF** с учетом  $1^\circ$ ,  $2^\circ$  и  $4^\circ$ . После получения первого варианта решения  $(\tilde{S}; \tilde{N})$  возможны следующие случаи.

1. Выполнено условие  $\tilde{N} \leq W$ , переходим к RL3.
2. Оказалось, что  $\tilde{N} > W$ , переходим к RL2, отбраковывая **ROLC**.

Процедура *анализ перехода* оставляет лучшую из найденных упаковок и оценивает в процентах отклонение ее длины от лучшего решения **RCSP**.

## 6. Численный эксперимент

Целью численного эксперимента являлось сравнение эффективности *генетического блочного* алгоритма (**GBA**) и *рандомизированного поиска парных списков* (**RDLS**) между собой, а также сравнение с известными методами: *классическим генетическим* алгоритмом (**GCA**) [18] и мультиметодным генетическим алгоритмом (**MMA**) [19]. Здесь приведен небольшой срез эксперимента.

В качестве исходных использовались данные, сгенерированные случайным образом. При этом были заданы параметры:  $W = 1000$  – ширина полосы;  $m = 20, 40, 60, 80, 100$  – количество прямоугольников;  $(w_i, l_i)$  – размеры  $i$ -го прямоугольника,  $i = \overline{1, m}$ .

Расчеты проводились для трех наборов исходных данных с параметрами:  $\nu_1$  – нижнее ограничение ширины прямоугольника по ширине, т.е.  $w_i \geq \nu_1 W$ ;  $\nu_2$  – верхнее ограничение ширины, т.е.  $w_i \leq \nu_2 W$ ;  $\omega_1$  – нижнее ограничение длины прямоугольника по ширине, т.е.  $l_i \geq \omega_1 W$ ;  $\omega_2$  – верхнее ограничение длины, т.е.  $l_i \leq \omega_2 W$ .

Расчеты проводились на ПЭВМ Pentium III-933 для сгенерированных наборов данных.

Набор № 1:  $\nu_1 = 0,10$ ;  $\nu_2 = 0,50$ ;  $\omega_1 = 0,15$ ;  $\omega_2 = 0,50$ .

Набор № 2:  $\nu_1 = 0,25$ ;  $\nu_2 = 0,40$ ;  $\omega_1 = 0,35$ ;  $\omega_2 = 0,60$ .

Набор № 3:  $\nu_1 = 0,10$ ;  $\nu_2 = 0,15$ ;  $\omega_1 = 0,15$ ;  $\omega_2 = 0,20$ .

В каждом классе задач и для каждого набора было просчитано по 50 примеров и средние результаты решения в виде коэффициентов раскроя (Cutting Coefficient, **CC**) записаны в ячейки таблицы. Коэффициент  $\mathbf{CC} = \sum_{i=1}^m w_i l_i / (L \times W)$ .

Жирным шрифтом в таблице выделены лучшие значения коэффициентов **CC**.

Результаты численного эксперимента

$m$	Набор № 1				Набор № 2				Набор № 3			
	GBA	RDLS	GCA	MMA	GBA	RDLS	GCA	MMA	GBA	RDLS	GCA	MMA
20	94,10	<b>94,65</b>	89,76	94,27	<b>94,29</b>	92,86	90,67	85,22	87,07	<b>91,90</b>	85,06	90,12
40	94,29	94,03	89,65	<b>94,70</b>	<b>94,50</b>	94,19	92,10	93,22	93,85	<b>94,04</b>	92,19	92,83
60	94,18	94,10	88,85	<b>95,62</b>	<b>95,63</b>	94,65	91,51	93,61	<b>93,92</b>	93,56	92,16	93,42
80	94,11	93,87	88,34	<b>95,57</b>	<b>94,95</b>	94,22	91,27	94,29	<b>94,57</b>	94,32	92,00	93,31
100	93,91	93,91	87,83	<b>95,80</b>	<b>95,96</b>	94,37	90,62	95,21	<b>95,08</b>	94,88	91,72	93,84

Анализируя результаты, можно сделать следующие выводы:

- эффективность блочных алгоритмов мало зависит от выделенных наборов данных и от количества  $m$  прямоугольников;
- лучшие решения получены с помощью блочных алгоритмов для прямоугольников средних или мелких габаритов (наборы № 2 и № 3);
- как правило, **GVA** дает лучший коэффициент раскроя по сравнению с **RDLS**; это можно объяснить тем, что в двойственной схеме применялся примитивный рандомизированный вариант простой эвристики **FF**;
- обе блочные схемы значительно эффективнее генетического алгоритма **GCA**;
- мультиметодный алгоритм И.П. Норенкова по своей эффективности для  $m \leq 100$  мало отличается от схемы поиска парных списков и блочного генетического алгоритма. Он показал лучшие решения для набора № 1, смеси прямоугольников различных размеров.

Заметим, что временные затраты были отведены примерно равные для всех алгоритмов и увеличивались по мере роста  $m$ . Однако, при  $m > 100$  эффективность **ММА** значительно выше. Для  $m \geq 500$  удалось получать решения лишь с помощью **ММА**. Это можно объяснить тем, что алгоритм **ММА** работает фактически без декодера, изменяя случайно алгоритмы упаковки.

## 7. Заключение

Статья посвящена блочной методологии конструирования алгоритмов прямоугольной упаковки: введены понятия блок-структур и блочные способы кодирования упаковок; сформулированы и обоснованы основные свойства блок-структур, в том числе необходимые и достаточные условия эквивалентности блок-структур и прямоугольной упаковки. На этой основе разработаны методы прямоугольной упаковки на базе линейного раскроя специального вида и предложены две группы алгоритмов. Первая использует вертикальную блок-структуру, вторая – вертикальную и горизонтальную структуры. Разработаны конкретные реализации общих схем: детерминированный алгоритм перебора элементов в блоках (пререстройка); генетический блочный алгоритм и рандомизированный поиск парных списков. Приведены результаты среза численного сравнения эффективности алгоритмов с известными генетическими алгоритмами (классическим и мультиметодным алгоритмом И.П. Норенкова). Блочные алгоритмы не уступают им. Основным достоинством является открытая методология разработки блочных алгоритмов. На этой базе могут создаваться более эффективные эвристики, приближенные и точные алгоритмы. Более того, методология может применяться и для разработки методов расчета параллелепипедной упаковки.

## ПРИЛОЖЕНИЕ

*Доказательство леммы 1.* Нетрудно видеть, что  $1^\circ$  и  $2^\circ$  являются необходимыми, но не достаточными условиями соответствия  $S(\tilde{S})$  и **RP**. Необходимость очевидна. Отрицание достаточности следует из контрпримера: при изменении порядка  $(P_2, P_1)$  на  $(P_1, P_2)$  следования прямоугольников в блоке № 1, см. рис. 1(а), прямоугольники  $P_2$  и  $P_3$  в блоке № 2 пересекутся.

*Доказательство леммы 3.* Необходимость очевидна. Пусть теперь имеет место свойство  $3^\circ$ . Тогда прямоугольники раздвинуты по оси  $Oy$ , т.е. условие (2) выполнено. Это означает по определению непересечение прямоугольников между собой.

*Доказательство леммы 4.* Необходимость очевидна. Пусть теперь имеет место условие (а) свойства 4°. Тогда если два прямоугольника  $i_1$  и  $i_2$  пересекают один и тот же вертикальный блок, то они не могут пересечь один и тот же горизонтальный блок. А это означает раздвинутость прямоугольников по оси  $Oy$ , т.е. (2). Аналогично, выполнение условия (b) свойства 4° означает раздвинутость прямоугольников  $i_1$  и  $i_2$  по оси  $Ox$ , т.е. (1). Выполнение условия (а) или (b) свойства 4° означает непересечение прямоугольников  $P_{i_1}$  и  $P_{i_2}$  по определению.

*Доказательство теоремы 1.* Пусть имеются блок-структуры **ROLC** (**ROLC\***), удовлетворяющие свойству 4°, и координаты  $(x_i, y_i)$  прямоугольников вычислены через блок-структуры по формулам (10). Совокупность прямоугольников с координатами  $(x_i, y_i)$  является упаковкой. На основании леммы 4 прямоугольники не пересекаются между собой, т.е. выполнены условия (1) или (2). Кроме того, по определению **ROLC\*** справедливо (9). А это, в свою очередь, с учетом нулевых координат прямоугольников, касающихся осей  $Ox$  и  $Oy$ , означает выполнение условий (3). Таким образом, мы имеем допустимую упаковку **RP** с блок-структурами **ROLC(ROLC\*)**.

#### СПИСОК ЛИТЕРАТУРЫ

1. Dyckhoff H. A typology of cutting and packing problems // F.R. Germany, 1991.
2. Hinxman A. The Trim-Loss and Assortment Problems: A Survey // Europ. J. Oper. Res. 1980. V. 11. P. 863–888.
3. Канторович Л.В., Залгаллер В.А. Расчет рационального раскроя материалов. Л.: Лениздат, 1951.
4. Gilmory P., Gomory R. Multistage cutting stock problem of two and more dimensions // Oper. Res. 1965. V. 13. № 1. P. 94–120.
5. Terno J., Lindeman R., Scheithauer G. Zuschnittprobleme und ihre praktische Lösung. Leiprig, 1987.
6. Романовский И.В. Алгоритмы решения экстремальных задач. М.: Наука, 1977.
7. Мухачева Э.А. Рациональный раскрой промышленных материалов: Применение АСУ. М.: Машиностроение, 1984.
8. Belov G., Scheithauer G. A Cutting Plane Algorithm for the One Dimensional Cutting Stock Problem with Multiple Stock Lengths // Europ. J. Oper. Res. 2002. 141(2). P. 274–294.
9. Martello S., Toth P. Knapsack problems: Algorithms and Computer Implementations. Chichester. John Wiley&Sons. 1990.
10. Качев С.В. Об одном классе дискретных минимаксных задач // Кибернетика. 1979. № 5. С. 139–141.
11. Гимади Э.Х., Залюбовский В.В. Задача упаковки в контейнеры: асимптотически точный подход // Изв. вузов. Математика. 1997. № 12. С. 25–33.
12. Coffman E., Garey M., Johnson D. Approximation algorithms for bin-packing. An updated survey // Algorithm Design for Computer System Design (Ausello G., Lucertini M., Serafini P. eds) Berlin et al. 1984. P. 49–106.
13. Мухачева Э.А. Валеева А.Ф. Метод динамического перебора в задаче двумерной упаковки // Информ. технологии. 2000. № 5. С. 30–37.
14. Стоян Ю.Г., Гиль Н.И. Методы и алгоритмы размещения плоских геометрических объектов. Киев: Наук. думка, 1976.
15. Кочетов Ю.А. Вероятностные методы локального поиска для задач дискретной оптимизации / Дискретная математика и ее приложения. Сб. лекций молодежных и научных школ. М.: МГУ, 2001. С. 87–117.
16. Aarts E., Lenstra J. Local Search in Combinatorial Optimization. John Wiley&Sons, 1996.
17. Falkenauer E. A hybrid Grouping Genetic Algorithm for Bin Packing // J. Heuristics. 1998. V. 2. № 1. P. 5–30.

18. *Liu D., Teng H.* An improved BL-algorithm for genetic algorithm of the orthogonal packing of rectangles // *Europ. J. Oper. Res.* 1999. 112. P. 413–420.
19. *Норенков И.П.* Эвристики и их комбинации в генетических методах дискретной оптимизации // *Информ. технологии.* 1999. № 1. С. 2–7.
20. *Гончаров Е.Н., Кочетов Ю.А.* Поведение вероятностных жадных алгоритмов для многостадийной задачи размещения // *Дискретный анализ и исследование операций.* 1999. Сер. 2. 6. № 1. С. 12–32.
21. *Мухачева А.С., Чиглицев А.В., Смагин М.А., Мухачева Э.А.* Задачи двумерной упаковки: развитие генетических алгоритмов на базе смешанных процедур локального поиска оптимального решения // *Информ. технологии.* 2001. № 9. Приложение. 25с.
22. *Mukhacheva E.A., Belov G.N., Kartak V.M., Mukhacheva A.S.* Linear one-dimensional cutting-packing problems: numerical experiments with sequential value correction method (SVC) and a modified branch-and-bound method (MBB) // *Pesquisa Operacional.* V. 20. № 2. P. 153–168.
23. *Мухачева Э.А. Мухачева А.С.* Метод перестройки для решения задачи прямоугольной упаковки // *Информ. технологии.* 2000. № 4. С. 30–36.

*Статья представлена к публикации членом редколлегии А.И. Кибзуном.*

Поступила в редакцию 27.06.2003